

지연시간과 봉압이 시추코어를 이용한 초기응력 측정에 미치는 영향

박배한¹⁾, 전석원¹⁾, 김양균²⁾

¹⁾서울대학교 지구환경시스템공학부

²⁾코오롱건설기술연구소

1. 서 론

지하 구조물의 안정성에 영향을 미치는 응력집중도는 구조물 주변에 작용하는 초기응력의 크기와 구조물의 형상 등에 따라 달라지기 때문에 지하 구조물을 설계하거나 안정성을 평가할 때 초기응력은 중요한 변수로 작용한다. 암반의 초기응력을 측정하는 방법에는 현장에서 초기응력을 측정하는 응력보상법(jacking method), 응력해방법(stress relief method), 수압파쇄법(hydraulic fracturing method) 등이 있으며, 암석 코어를 이용하여 실험실 시험으로 초기응력을 측정하는 방법으로 AE (Acoustic Emission), DRA (Deformation Rate Analysis), DSCA (Differential Strain Curve Analysis), ASR (Anelastic Strain Recovery) 등을 이용한 방법들이 있다(Amadei and Stephansson, 1997).

AE를 이용한 초기응력 측정법은 카이저 효과를 이용하는 방법으로 암석 시료에 축방향 하중을 가하여 AE가 급증하는 곳을 찾아 초기응력을 결정하며 DRA는 축방향 변형률과 응력과의 관계를 나타내는 변형률차함수(strain difference function)를 이용하여 초기응력을 결정하는 방법이다(Kaiser, 1950, Yamamoto et al., 1990, Utagawa et al., 1997, Seto et al., 1998, Seto et al., 1999). AE와 DRA를 이용하여 초기응력을 측정할 경우 시추와 실험실 시험 사이에 지연시간이 발생하며 시료에 축방향 반복하중을 가하여 초기응력을 결정하기 때문에 지하 암반의 응력상태와는 다른 결과를 얻을 수도 있다. 따라서 이 연구에서는 선행응력을 가한 후 지연시간을 1시간, 1일, 1주일, 1개월로 다르게 하여 지연시간이 선행응력 결정에 미치는 영향을 살펴보았다. 또한 수직응력 결정에 미치는 수평응력의 영향을 살펴보기 위하여 축방향 선행응력만을 가한 시료와 축방향 선행응력과 봉압을 모두 가한 시료에 대해 축방향 선행응력을 결정하였다. 마지막으로 터널현장에서 시추한 코어를 이용하여 초기응력을 결정하여 수압파쇄법에 의해 결정한 값과 비교하여 AE와 DRA를 이용한 초기응력 측정법의 현장적 용가능성을 살펴보았다.

2. 실험 방법

2.1 시료의 특성

전라북도 황동 지역에서 산출되는 중·세립질의 황동화강암을 대상으로 실험을 실시하였다. 황동화강암은 석영, 미사장석, 장석, 흑운모 등으로 이루어진 중생대 쥐라기의 흑운모 화강암이다. 황동화강암 블럭을 코어링하여 길이가 직경(54 mm)의 두 배 이상이 되도록 성형한 후 SHIMADZU사의 UDH-200AR과 OYO사의 Sonic Viewer 170 등을 사용하여 단축압축강도, 압열인장강도, 탄성계수, 포아송비, 탄성파 속도, 비중, 유효 공극률 등을 결정하였으며 그 결과를 Table 1에 나타내었다. 각 물성값은 5회 측정값의 평균값으로 결정하였다.

Table 1. Physical and mechanical properties of Hwangdeung Granite

Bulk specific gravity	2.66
Effective porosity (%)	0.63
P-wave velocity (m/sec)	3,700
S-wave velocity (m/sec)	2,650
Uniaxial compressive strength (MPa)	169
Brazilian tensile strength (MPa)	8
Young's modulus (GPa)	45.5
Poisson's ratio	0.27

2.2 압축시험 장치 및 자료획득 장치

SHIMADZU사의 UDH-200AR을 사용하여 하중을 가하였다. UDH-200AR은 최대 200톤까지 하중을 가할 수 있으며 하중체어(constant load speed)가 가능한 만능재료시험기이다. 축방향 변형률 측정을 위해 Tokyo Sokki Kenkyujo사의 스트레인 게이지와 Measurement Group사의 System 5000을 사용하였다. System 5000은 만능재료시험기에서 들어오는 하중과 스트레인 게이지에서 들어오는 신호를 받아들여 처리한다.

2.3 AE 측정 장치

독일 Vallen-Systeme사의 AMSY 4를 사용하여 AE 신호를 측정하였다. AMSY 4는 36채널까지 확장 가능한 다채널 AE 시스템으로 각 채널의 측정회로는 AE 센서, 전치증폭기와 시스템 케이스에 내장된 ASIPP (Acoustic Signal Preprocessor) 등으로 구성되어 있다. Vallen-Systeme사의 SE 150-M 공진형 센서를 사용하였으며 검출한계(threshold)는 34 dB로 설정하여 그 이상 되는 신호만을 측정하였다. 전치증폭기와 시그널컨디셔너에서 각각 40 dB 씩 증폭시켰다. Fig. 1에 초기응력 측정을 위한 실험장치를 개략적으로 나타내었다. 이 연구에서는 잡음을 효과적으로 제거하기 위해 2차원 음원추적의 원리를 이용하여 측정영역을 제한함으로써 특정한 부분에서 발생하는 AE 신호만을 측정하였다. 그리고 시료와 구면좌 사이에 폴리에틸렌 필름을 끼워서 유압원에서 발생하는 기계적 잡음을 제거하였으며 이른 아침과 저녁에 실험을 실시하여 환경적 잡음을 최소화하였다.

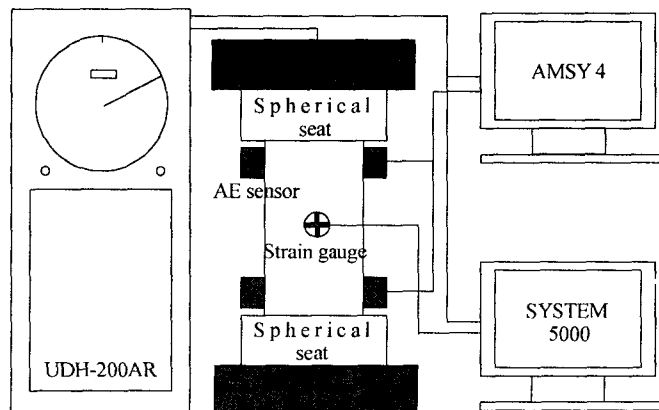


Fig. 1. A schematic diagram of in-situ stress measurement system

2.4 실험 절차

지연시간이 선행응력 결정에 미치는 영향을 살펴보기 위해 Fig. 2 (a)와 같이 0.214 MPa/sec 의 속도로 20 MPa 까지 응력을 가한 후 60초 동안 유지하였다가 2.33 MPa/sec 의 속도로 하중을 제거하였다. 다시 30초 후에 같은 속도로 하중을 가하였으며 이와 같은 과정을 10회 반복하였다. 선행응력을 가한 다음 1시간, 1일, 1주일, 1개월 후에 40 MPa 까지 Fig. 2 (b)와 같은 방법으로 5회의 반복하중을 위하여 AE와 DRA를 이용하여 선행응력을 결정하였다.

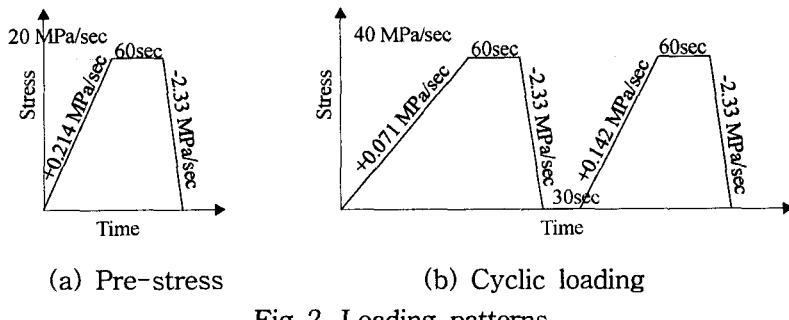


Fig. 2. Loading patterns

수평응력이 수직응력 결정에 미치는 영향을 살펴보기 위하여 15 MPa 의 축방향 선행응력만을 가한 시료와 15 MPa 의 축방향 선행응력과 30 MPa 의 봉압을 모두 가한 시료에 다시 40 MPa 까지 축방향 반복하중을 위하여 AE와 DRA를 이용하여 축방향 선행응력을 결정하였다. Fig. 2와 같은 방법으로 반복하중을 가하였다.

AE와 DRA를 이용하여 결정한 초기응력과 수압파쇄법에 의해 측정한 결과를 비교하기 위하여 A 터널과 B 터널에서 시추한 코어를 이용하여 초기응력을 측정하였다. 시추한 코어를 길이가 직경의 2 배 이상이 되게 성형한 다음 Fig. 2 (b)와 같은 방법으로 각각 5회의 반복하중을 가하였다. A 터널에서 얻은 시료는 직경 47 mm 의 화강암으로 심도는 $120.4\text{-}172.6 \text{ m}$ 이며 시추 6개월 후에 실험을 실시하였다. B 터널에서 얻은 시료는 $105.7\text{-}124.7 \text{ m}$ 에서 시추한 것으로 직경 47 mm 의 천매암(phyllite)이며 시추 5개월 후에 실험을 실시하였다.

3. 실험 결과

3.1 지연시간이 선행응력 결정에 미치는 영향

지연시간이 선행응력 결정에 미치는 영향을 살펴보기 위하여 20 MPa 의 선행응력을 가한 다음 1시간, 1일, 1주일, 1개월 후에 반복하중을 가하여 선행응력을 결정하였다.

Fig. 3은 지연시간이 1시간인 시료에 대한 결과를 나타낸 것으로 Fig. 3 (a)에서는 링다운 카운트와 에너지가 지속적으로 증가하기 시작하는 응력인 19.4 MPa 을 선행응력으로 결정하였으며 Fig. 3 (b)에서는 변형률차함수 그래프의 기울기가 양에서 음으로 변하는 응력인 18.6 MPa 을 선행응력으로 결정하였다. 이와 같은 방법으로 지연시간이 1일, 1주일, 1개월인 시료에 대해서 선행응력을 결정하여 Fig. 4부터 Fig. 6에 나타내었다. Fig. 7에서 알 수 있듯이 지연시간이 길어짐에 따라 오차가 약간씩 증가하는 경향이 나타났으나 지연시간이 1개월인 시료의 경우라 할지라도 AE를 이용할 경우 $9.50 \pm 6.00\%$, DRA를 이용할 경우 $6.70 \pm 5.08\%$ 의 오차범위 내에서 선행응력을 결정할 수 있었다.

지연시간이 길어져 첫 번째 가압시에 카이저 효과가 뚜렷하지 않더라도 반복하중을 가하면 두 번째 가압부터는 카이저 효과가 뚜렷하게 나타나 선행응력을 결정하는데 큰 영향을 주지 않으며 심지어 2년이 경과한 시료라 할지라도 $\pm 10\%$ 의 오차범위 내에서 선행응력을 결정할 수 있다는 연구결과들(Seeto et al., 1996, Seto et al., 1997, Seto et al., 1998, Seto et al., 1999)을 살펴볼 때 지연시간을 더 길게 설정한 추가적인 연구가 필요하다고 판단된다.

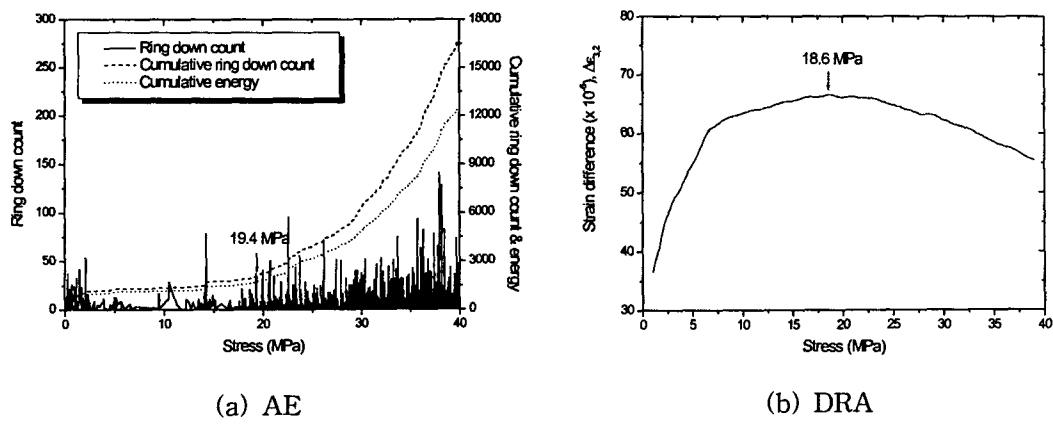


Fig. 3. Determination of pre-stress (delay time: 1 hour, G-31)

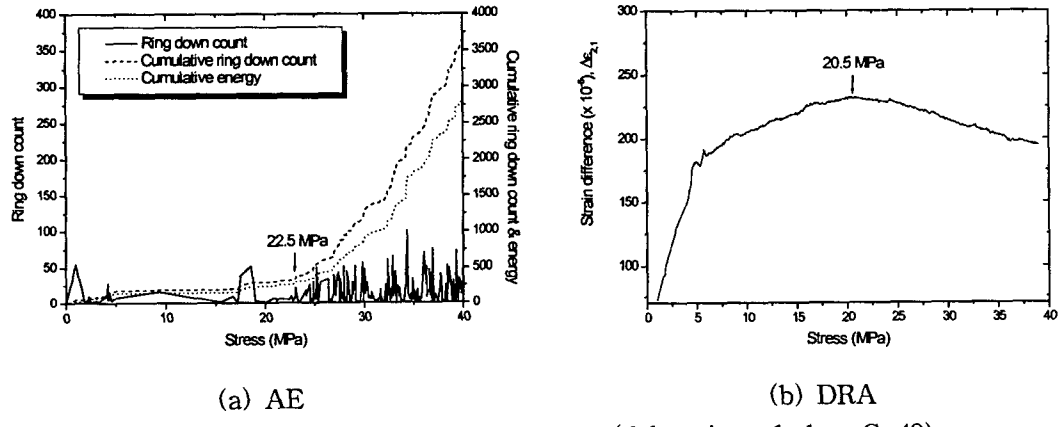


Fig. 4. Determination of pre-stress (delay time: 1 day, G-49)

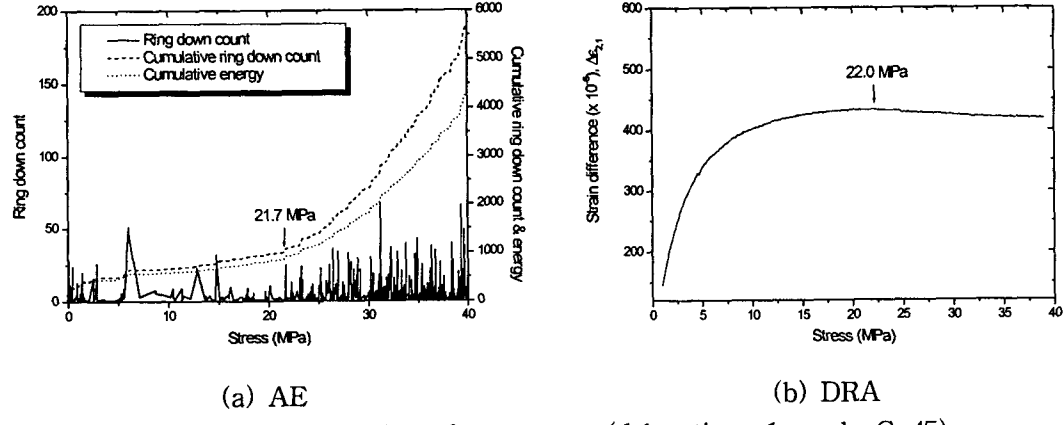


Fig. 5. Determination of pre-stress (delay time: 1 week, G-45)

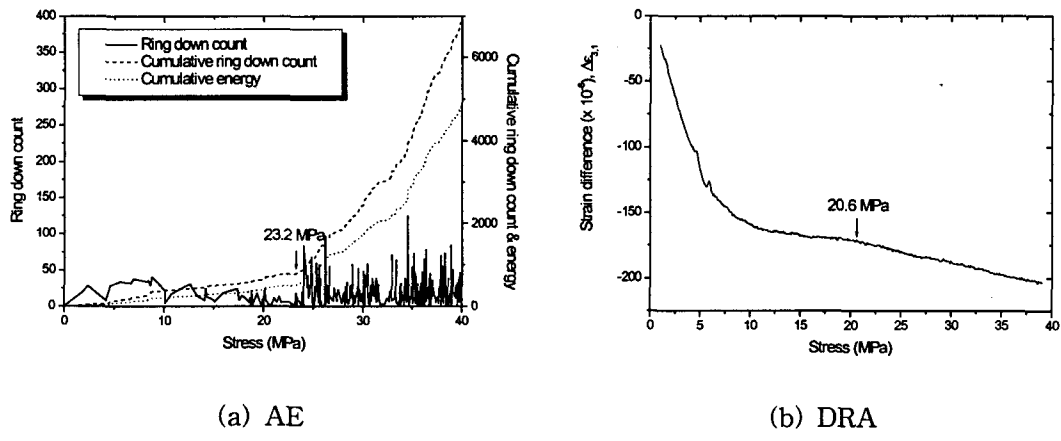


Fig. 6. Determination of pre-stress (delay time: 1 month, G-39)

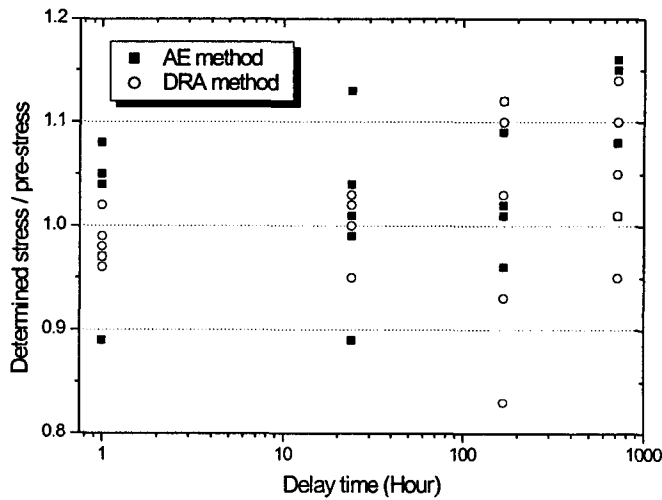


Fig. 7. Determined stress/pre-stress - delay time curve

3.2 봉압이 선행응력 결정에 미치는 영향

수평응력이 수직응력 결정에 미치는 영향을 살펴보기 위하여 15 MPa의 축방향 선행응력만을 가한 시료와 15 MPa의 축방향 선행응력과 30 MPa의 봉압을 모두 가한 시료에 다시 축방향 반복하중을 통하여 AE와 DRA를 이용하여 축방향 선행응력을 결정하였다. 선행응력은 10회씩 가했으며 반복하중을 가하는 패턴은 Fig. 2 (b)와 같다. Fig. 8은 AE와 DRA를 이용하여 축방향 선행응력과 봉압을 결정하는 모습을 나타낸 것이며 이렇게 결정한 5개의 시료에 대한 결과를 Table 2에 정리하였다. 축방향 선행응력만을 가한 경우 AE를 이용하면 $5.78 \pm 2.89\%$, DRA를 이용하면 $2.60 \pm 1.29\%$ 의 오차범위 내에서 축방향 선행응력을 결정할 수 있었으며 축방향 선행응력과 봉압을 모두 가한 경우 AE를 이용하면 $9.33 \pm 7.79\%$, DRA를 이용하면 $6.40 \pm 7.31\%$ 의 오차범위 내에서 축방향 선행응력을 결정할 수 있었다. 그러나 횡방향 응력이 축방향 응력 결정에 영향을 주지 않는다는 연구결과(Seto et al., 1996, Utagawa et al., 1997)가 발표된 바 있기 때문에 이에 대한 추가적인 연구가 필요하다고 판단된다. 축방향 선행응력 뿐만 아니라 봉압의 크기도 AE를 이용할 경우 $4.67 \pm 5.92\%$, DRA를 이용할 경우 $6.33 \pm 5.86\%$ 의 오차범위 내에서 결정할 수 있었다.

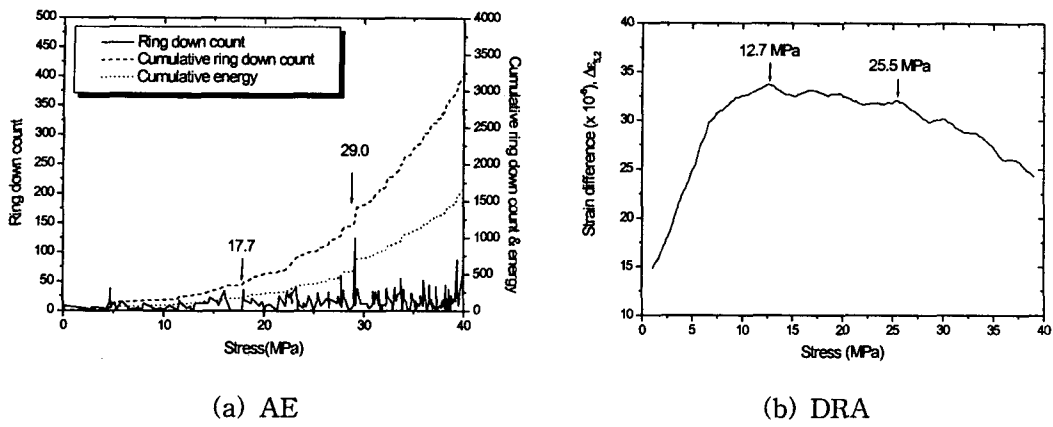


Fig. 8. Determination of axial pre-stress and confining pressure (T-03)

Table 2. Determined axial pre-stress and confining pressure by using AE and DRA
(Axial pre-stress: 15 MPa, Confining pressure: 30 MPa)

Result (MPa)	AE		DRA	
	Axial	Confining	AE	Confining
Mean	16.04	28.80	14.12	28.38
S. D.	1.57	1.95	1.18	2.10

3.3 현장시료를 이용한 초기응력의 측정

AE와 DRA를 이용한 초기응력 측정법의 현장 적용성을 살펴보기 위하여 터널 현장에서 시추한 코어를 이용하여 초기응력을 결정하였으며 그 결과를 Fig. 9에 나타내었다. 터널 현장에서 시추한 코어를 사용하여 초기응력을 측정한 결과 AE와 DRA는 매우 유사한 결과를 나타내었으나 수압파쇄법에 의한 결과보다는 대체로 작은 값을 갖는 것으로 나타났다. 수평방향 최대주응력의 경우 AE를 이용한 경우가 수압파쇄법에 의한 결과보다 A 터널의 경우 약 8%, B 터널의 경우 약 17% 작게 평가되었다.

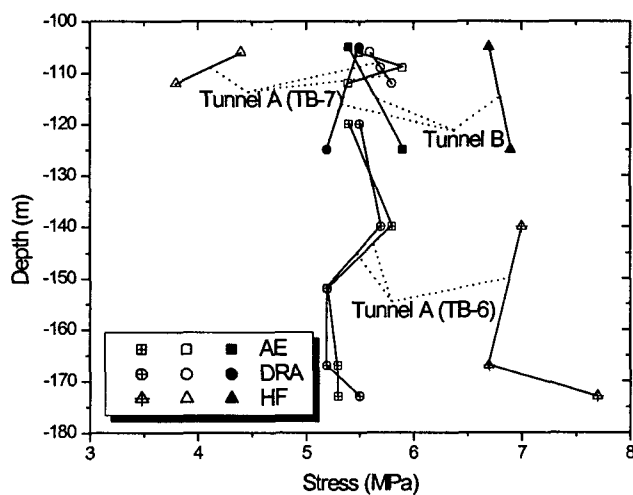


Fig. 9. Determined stress using AE, DRA and hydraulic fracturing

Fig. 10은 두 터널현장의 초기응력을 Hoek(1980) 등이 제시한 식, Lim(1991) 등이 제시한 식과 비교한 것이다. 두 터널 현장의 K값은 모두 1.3에서 2.5 사이의 값을 갖는 것으로 나타났다.

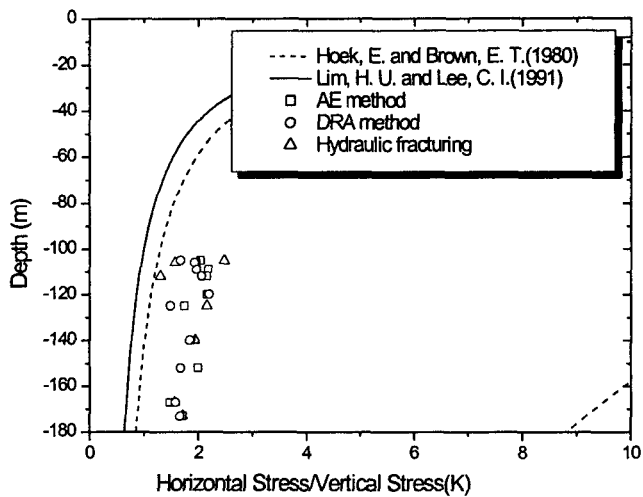


Fig. 10. Horizontal stress / Vertical stress (K)

4. 결 론

본 연구를 통하여 얻은 결론은 다음과 같다.

- 1) 지연시간이 선행응력 결정에 미치는 영향을 살펴본 결과 지연시간이 길어짐에 따라 오차가 약간씩 증가하는 경향이 나타났다. 그러나 지연시간이 1개월인 시료의 경우라 할지라도 AE를 이용할 경우 $9.50 \pm 6.00\%$, DRA를 이용할 경우 $6.70 \pm 5.08\%$ 의 오차범위 내에서 선행응력을 결정할 수 있었다.
- 2) 축방향 선행응력만을 가한 경우 AE를 이용하면 $5.78 \pm 2.89\%$, DRA를 이용하면 $2.60 \pm 1.29\%$ 의 오차범위 내에서 축방향 선행응력을 결정할 수 있었으며 축방향 선행응력과 봉압을 모두 가한 경우 AE를 이용하면 $9.33 \pm 7.79\%$, DRA를 이용하면 $6.40 \pm 7.31\%$ 의 오차범위 내에서 축방향 선행응력을 결정할 수 있었다. 축방향 선행응력 뿐만 아니라 봉압의 크기도 AE를 이용할 경우 $4.67 \pm 5.92\%$, DRA를 이용할 경우 $6.33 \pm 5.86\%$ 의 오차범위 내에서 결정할 수 있었다.
- 3) 터널 현장에서 시추한 코어를 사용하여 AE와 DRA를 통해 초기응력을 측정한 결과 AE와 DRA는 매우 유사한 결과는 나타내었으나 수압파쇄법에 의한 결과보다는 대체로 작은 값을 갖는 것으로 나타났다. 수평방향 최대주응력의 경우 AE를 이용한 경우가 수압파쇄법에 의한 결과보다 A 터널의 경우 약 8%, B 터널의 경우 약 17% 작게 평가되었다.

참 고 문 현

1. Amadei, B. and Stephansson, O., 1997, Rock stress and its measurement, Chapman & Hall, 289-302.

2. Hoek, E. and Brown, E. T., 1980, Underground Excavations in Rock, The Institution of Mining and Metallurgy, 87-127.
3. Kaiser, J., 1950, An Investigation into the Occurrence of Noises in Tensile Tests or a Study of Acoustic Phenomena in Tensile Tests, Ph. D. thesis Tech. Hosch. Munchen, Munich, Germany.
4. Lim, H. U. and Lee, C. I., 1991, The Trends and Variations of Natural Stressed in Rock Masses with Depth, J. Korean Society for Rock Mechanics, Vol. 1, 91-101.
5. Seto, M., Nag, D. K. and Vutukuri, V. S., 1996, Experimental verification of the Kaiser effect in rock under different environment conditions, Eurock '96, 395-402. Rotterdam, Balkema.
6. Seto, M., Utagawa, M. and Katsuyama, K., 1997, Application of acoustic emission technique to determination of in situ stress, Environmental and Safety Concerns in Underground Construction, Vol. 2, 691-696, Rotterdam, Balkema.
7. Seto, M., Utagawa, M., Katsuyama, K. and Kiyama, T., 1998, In situ stress determination using AE and DRA techniques, Int. J. Rock Mech. & Min. Sci., Vol. 35, 4-5, Paper No. 102.
8. Seto, M., Nag, D. K. and Vutukuri, V. S., 1999, In-situ rock stress measurement from rock cores using the acoustic emission method and deformation rate analysis, Geotechnical and Geological Engineering, Vol. 17, 1-26.
9. Utagawa, M., Seto, M. and Katsuyama, K., 1997a, Determination of in situ stress using DRA and AE techniques, Environmental and Safety Concerns in Underground Construction, Vol. 2, 745-750, Rotterdam, Balkema.
10. Utagawa, M., Seto, M. and Katsuyama, K., 1997b, Estimation of initial stress by Deformation Rate Analysis (DRA), Int. J. Rock Mech. & Min. Sci., Vol. 34, 3-4, Paper No. 317.
11. Yamamoto, K., Kuwahara, Y., Kato, N. and Hirasawa, T., 1990, Deformation rate analysis: a new method for in situ stress examination from inelastic deformation of rock samples under uni-axial compressions, Tohoku Geophys. J., Vol. 33, 127-147.